

○ 正員 麻木宏之

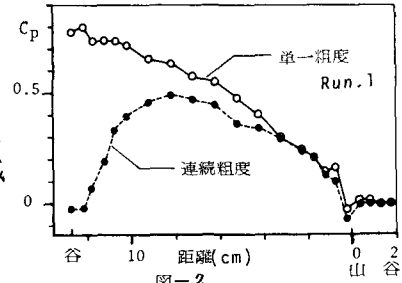
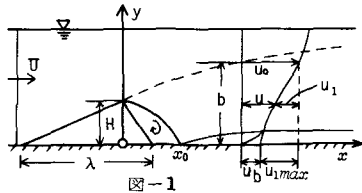
〃 渡辺訓甫

1. まえがき 単一三角形粗度の圧力抵抗については、風洞中での詳細な実験結果が石川によつて報告されてゐるが、その下流部の流れについては、直角段落ちを用いて検討されている。²⁾ 本研究は、開水路に三角形粗度を一個だけ設置した実験を行ない、その下流部の流れに対して二次元後流理論の適用を試みたものである。

2. 実験 幅30cm、長さ6mの滑面水路に波高 $H=1\text{cm}$ 、波長 $\lambda=15\text{cm}$ の三角形粗度を一個設置し、三角波面の圧力分布、逆流渦の長さ、および船直流速分布を測定した。流速分布の測定には、光端を幅20mm、厚さ0.2mmの偏平な断面に加工したピト一管を用い、測定は Reattachment point を原点として $0, 1, 2, 3, 5, 7, 10, 15, 20, 30, 40, 70, 100\text{ cm}$ の各断面で行なつた。実験の概要は次の通りである。

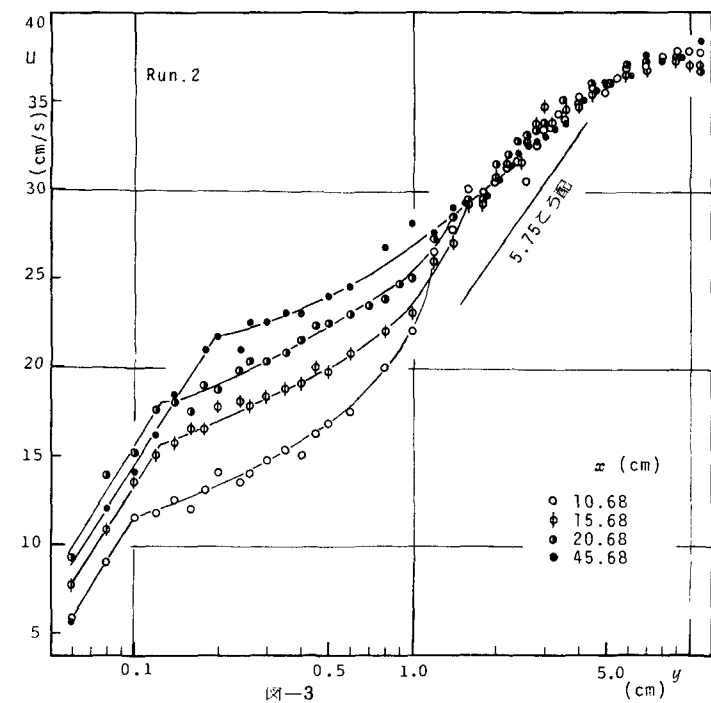
	記号	$V \text{ cm/s}$	$h \text{ cm}$	I_e	$u_* \text{ cm/s}$	$x \text{ cm}$	C_D
Run. 1	○	29.3	5.4	1/935	2.38	7.33	0.496
Run. 2	●	33.9	11.4	1/741	3.88	5.68	0.190

3. 圧力抵抗 図-2に圧力係数 C_p の分布を示す。破線は連続三角形粗度の場合³⁾、上流の粗度によつて流れから遮蔽されて抵抗が減少している様子がわかる。上表の抵抗係数 $C_D \equiv D/\frac{1}{2} \rho U^2 H$ (D : 搾近流速) の値は、石川の風洞実験の結果とよく一致している。



4. 粗度下流部の流れについて

1) 解析 流速分布の測定結果(図-3)によると、下流部の流れは開水路対数則の成立する主流域、粗度 crest から発達していく後流、および壁面近傍における境界層の3領域に区分できる。この後流を、流速 u の一様流中にあかれた二元物体(径 $2H$)の後流を中心線で分割して半平面の流れとみなしそれに影響をおぼさないとする。ここでは物体近くの流れを対象とするため従来の後流解に次の様な修正を加える。図-1のように、①物体背後に生じる逆流渦の長さを x_0 とし、そこでの底面流速 $u_b=0$ とする。②後流幅 b は crest と波高 H とす。物体から十分離れたところでは成り立つ後流解と、これらの条件とを満足させると



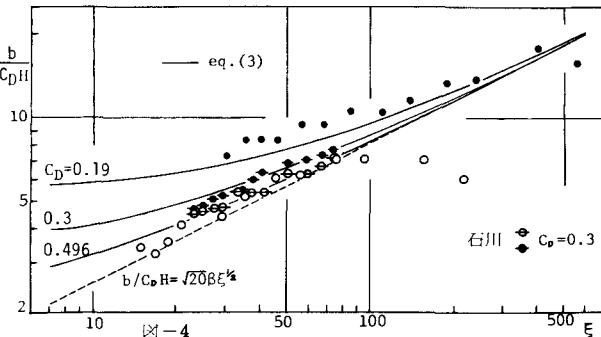
後流の流速分布、底面流速および後流幅は、それぞれ次の様になつた。

$$\frac{u}{u_0} = 1 - \frac{\sqrt{20}}{18\beta} \left\{ \xi - \xi_0 + \left(\frac{\sqrt{20}}{18\beta} \right)^2 \right\}^{-\frac{1}{2}} (1 - \eta^{\frac{3}{2}})^2 \quad (1)$$

$$\frac{u_b}{u_0} = 1 - \frac{\sqrt{20}}{18\beta} \left\{ \xi - \xi_0 + \left(\frac{\sqrt{20}}{18\beta} \right)^2 \right\}^{-\frac{1}{2}} \quad (2)$$

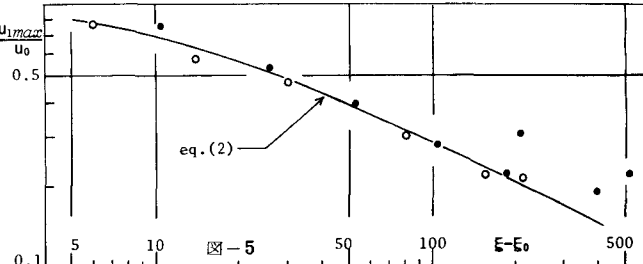
$$\frac{b}{C_D H} = \sqrt{20/\beta} \left\{ \xi + (C_D/20\beta)^{-2} \right\}^{\frac{1}{2}} \quad (3)$$

ここに、 $\eta = y/b$, $\xi = x/C_D H$, $\xi_0 = x_0/C_D H$, $\beta = b/b_0$, b 混合距離である。



2) 実験結果との比較

(1) 後流幅：図-4は主流対数則の拡張の位置と式(3)と比較したもので、図には石川の直角段落ちにおける結果も点描かれている。破線は従来の後流解である。式中の β はSchlichtingの実験値 $\beta=0.18$ を用いており、壁面の存在にもかかわらず自由な流れの中の物体の後流幅にはほぼ一致している。



(2) 流速分布および底面流速；底面流速 u_b の式(2)は $\beta=0.18$ とするとき、石川が直角段落ちの場合に与えた実験式と一致する。しかし、壁面が存在する場合はその近傍で乱れがおさえられるので、ここでは簡単に次の様に考える。すなはち、後流の大きさ自体は自由乱流の場合と同じであらが、壁面のため混合距離 b は小さくなっているとする。図-5は対数自乗グラフより求めた最大欠損流速 $u_{1,max}$ を点描したもので、図中実線は式(2)において $\beta=0.083$ としたものである。齊藤は壁面噴流の場合の混合距離 b 、自由噴流のそれの約0.4倍程度であると述べており、上記 β の値はほぼこのことに対応していると思われる。図-6に欠損流速分布を示す。

5. おわりに β の値（混合距離の分布）についてはなお検討を要するが、提案した式は粗度のごく近くまで実験値と一致しており、河床波などのよ

うに有効間隔が小さい場合に適用できるとと思われる。最後に、終始熱心な御指導をいたされたいた九州大学の椿東一郎教授、ピトーパ管製作に御指導をいたされた山口大学の齊藤隆助教授に深く感謝致します。なお、本文は、本学土木工学科4年、市原 清谷尚君の卒業研究の一部である。

参考文献

- 1) 吉川秀夫・石川忠晴：砂連・砂堆上の流れの抵抗について、土木学会論文報告集、vol.281, 1977
- 2) 石川忠晴：断面急変に伴う剥離領域の下流部の流れと底面せん断力について、土木学会論文報告集、vol.257, 1977
- 3) 渡辺・荒木：河床波上の流れの特性と圧力抵抗について、沿岸工学報、no.71979：河床波上の流れの抵抗について、土木学会西部支部講演集、p.64
- 4) 齊藤隆：壁面噴流および湾曲噴流の流れ特性と沈底機構、学位論文、昭53.7